



Università degli Studi di Catania

Alessandro Pluchino

**Metastability, Nonextensivity and
Glassy Dynamics in a Class of
Long Range Hamiltonian Models**

Dottorato di Ricerca in Fisica - XVII Ciclo

Discussione Tesi per il conseguimento del titolo

1 Febbraio 2005

Tutor: Prof. A. Rapisarda

E-mail: alessandro.pluchino@ct.infn.it - Group web page: www.ct.infn.it/~cactus

Outline del talk

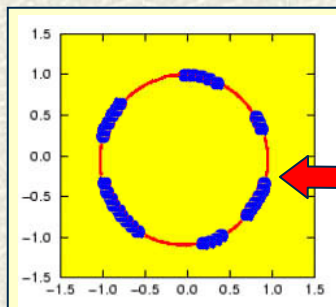
- ❑ **Introduzione: Termodinamica e Dinamica del modello HMF**
- ❑ **Calore specifico negativo & Stati Quasi-Stazionari Metastabili**
- ❑ **Dinamica lenta, Diffusione anomala & PDF non gaussiana**
- ❑ **Ruolo delle condizioni iniziali sulla dinamica dei QSS**
- ❑ **Correlazioni, Frustrazione dinamica, Power Law Relaxation & Aging**
- ❑ **Links con la q-statistica generalizzata (non estensiva) di Tsallis**
- ❑ **Weak ergodicity breaking e interpretazione del QSS regime come fase Spin-Glass**
- ❑ **Stati Quasistazionari sotto il punto critico: esempi di Metastabilità in altri Sistemi Complessi.**

Il modello HMF

L'Hamiltonian Mean Field (HMF) model è un modello XY a rotatori planari (di massa e modulo unitari) con interazione a range infinito, definito dalla seguente hamiltoniana classica nelle N coppie di variabili canoniche: $\{\theta_i, p_i\}$

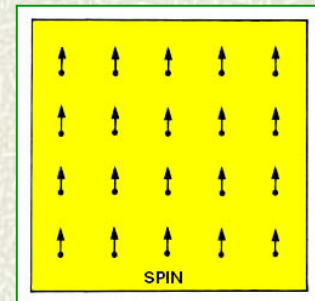
$$H = K + V = \sum_{i=1}^N \frac{p_i^2}{2} + \frac{1}{2N} \sum_{i,j=1}^N [1 - \cos(\vartheta_i - \vartheta_j)]$$

Antoni and Ruffo PRE 52 (1995) 2361



...o come un sistema di **particelle interagenti in moto su un cerchio unitario.**

L'HMF può essere visto come un semplice reticolo di **spin accoppiati...**



L'importanza di HMF sta nel fatto che il suo comportamento sembra essere **paradigmatico di una ampia classe di sistemi con interazioni a lungo range**, come per esempio sistemi nucleari o astrofisici (self-gravitating systems), e riveste un interesse particolare per lo studio della multiframmentazione e dei clusters atomici.

Termodinamica all'Equilibrio

Prendendo come parametro d'ordine il modulo **M** della **magnetizzazione**:

$$\vec{M} = \frac{1}{N} \sum_{i=1}^N \vec{S}_i$$

...essendo il singolo spin (rotatore) definito come:

$$\vec{S}_i = (\cos \vartheta_i, \sin \vartheta_i)$$

la soluzione in **ensemble canonico** del modello mostra una **transizione di fase del secondo ordine**, dove si passa da una fase **Condensata** (ferromagnetica) ad una fase **Omogenea** (paramagnetica) in funzione della **Densità di Energia U** (o della temperatura T):

Curva calorica \Rightarrow

$$U = \frac{H}{N} = \frac{\partial(\beta F)}{\partial \beta} = \frac{1}{2\beta} + \frac{1}{2}(1 - M^2)$$

Antoni and Ruffo, PRE 52 (1995) 2361

F = free energy density

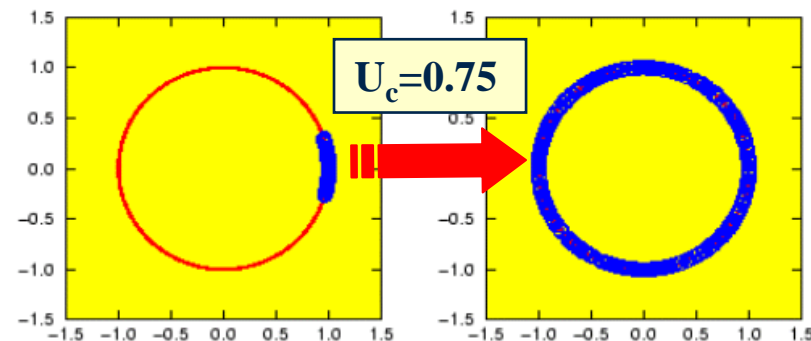
$$\beta = \frac{1}{T} \quad (k_B = 1)$$

T = temperature

$$M \sim 1$$

$$U < U_c$$

Fase Condensata



$$M \sim 0$$

$$U > U_c$$

Fase Omogenea

Termodinamica all'Equilibrio

Infatti la funzione di partizione **canonica** del modello:

$$Z = \int_{-\infty}^{\infty} \prod_{k=1}^N dp_k \int_{-\pi}^{\pi} \prod_{k=1}^N d\theta_k e^{-\beta H}$$

può essere **risolta esattamente** utilizzando una trasformazione di **Hubbard-Stratonovich (H-S)** e il metodo della **steepest-descent** (o metodo di Laplace).

Innanzitutto la Z si fattorizza in un contributo cinetico ed uno potenziale:

$$Z_K = \int_{-\infty}^{\infty} \prod_{k=1}^N dp_k e^{-\frac{\beta}{2} \sum_i p_i^2} = \left(\frac{2\pi}{\beta} \right)^{\frac{N}{2}}$$

$$Z_V = C \int_{-\pi}^{\pi} \prod_{k=1}^N d\theta_k e^{-\frac{\beta}{2N} \sum_{ij} \cos(\theta_i - \theta_j)} = C \int_{-\pi}^{\pi} \prod_{k=1}^N d\theta_k e^{-\frac{\beta}{2N} \left| \sum_i \vec{S}_i \right|^2}$$

Applicando quindi una trasformazione H-S in 2-D alla Z_V si **linearizza** l'esponente nell'integrale:

...con:

$$C = e^{-\frac{\beta N}{2}}$$

$$Z_V = \frac{C}{\pi} \int_{-\pi}^{\pi} \prod_{k=1}^N d\theta_k \int_{-\infty}^{\infty} d\vec{v} e^{-\vec{v}^2 + \sum_i \vec{S}_i \cdot [\vec{v} (2\beta/N)^{1/2}]}$$

da cui, scambiando l'ordine di integrazione, integrando sugli angoli e sfruttando la sostituzione di variabile $\vec{v} \rightarrow \vec{v} (N / 2\beta)$, otterremo:

Termodinamica all'Equilibrio

$$Z_V = \frac{NC}{2\pi\beta} \int_{-\infty}^{\infty} d\vec{v} e^{N \left[-\frac{\vec{v}^2}{2\beta} + \ln 2\pi I_0(\vec{v}) \right]}$$

...dove I_0 è la **funzione di Bessel modificata** di ordine zero.

Per stimare questo integrale, essendo interessati al limite termodinamico, si può far uso del metodo della **steepest-descent**. Quest'ultimo richiede che la funzione in parentesi quadre, che chiameremo $f(v)$, abbia un massimo. Per trovarlo basta porre a zero la derivata prima di f ottenendo così **l'equazione in campo medio per i punti stazionari**:

$$w = \frac{I_1}{I_0}(\beta w)$$

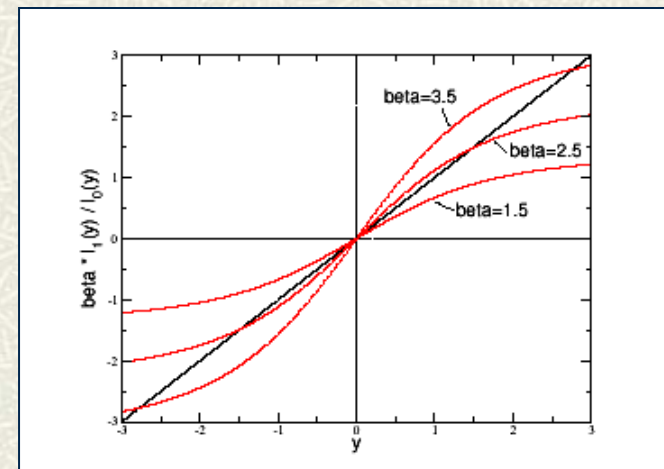
...dove si è posto:

$$\vec{w} = \vec{v} / \beta$$

con:

$$\vec{v} = (v \cos \theta, v \sin \theta)$$

La funzione a secondo membro, che come vedremo coincide con la **magnetizzazione** del sistema, ha un andamento qualitativamente uguale a quello di una tangente iperbolica cosicché l'equazione è risolvibile graficamente. Si può così veder che essa ammette **soluzioni diverse da zero** (di modulo fissato e fase variabile) **solo per $\beta > 2$** , cioè per $T < T_c = 0.5$, valore che rappresenta dunque la temperatura critica per il modello HMF.



Termodinamica all'Equilibrio

Dopo aver verificato che il **punto stazionario** appena trovato è un massimo per la funzione f (si trova infatti che gli autovalori della matrice hessiana sono entrambi negativi) si può applicare il metodo della **steepest-descent** alla funzione di partizione totale Z per ricavare la densità di energia libera F :

$$-\beta F = \lim_{N \rightarrow \infty} \frac{\ln Z}{N} = \frac{1}{2} \ln \left(\frac{2\pi}{\beta} \right) - \frac{\beta}{2} + \left[-\beta \frac{\vec{w}^2}{2} + \ln 2\pi I_0(\beta |\vec{w}|) \right]_0$$

dove l'ultimo termine va calcolato nel punto di massimo.

Da qui è possibile verificare che la **magnetizzazione** coincide con la w :

$$\vec{M} = \frac{1}{N} \left\langle \sum_{i=1}^N \vec{S}_i \right\rangle = \frac{I_1(v)}{I_0(v)} = \frac{v}{\beta} = w$$

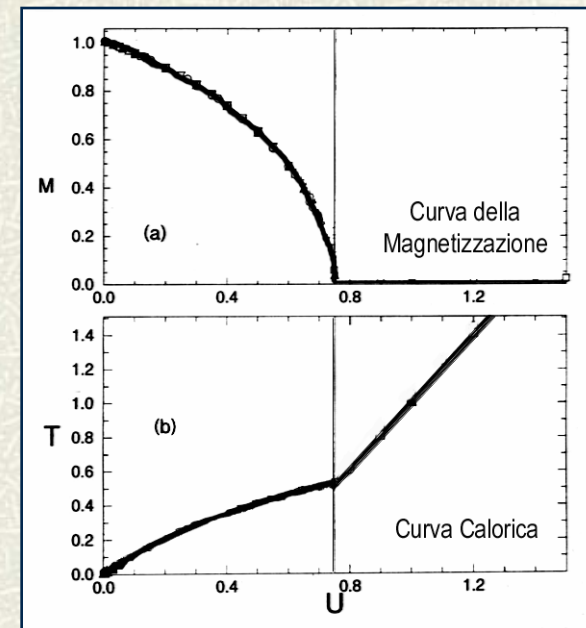
ed è anche possibile ricavare la **curva calorica** presentata in apertura. Infatti si ha:

$$U = \left\langle \frac{H}{N} \right\rangle = \frac{\partial(\beta F)}{\partial \beta} = \frac{1}{2\beta} + \frac{1}{2} + \frac{w^2}{2} - w \frac{I_0'(\beta w)}{I_1(\beta w)}$$

la quale, poiché $w = M$, diventa appunto:

$$U = \frac{T}{2} + \frac{1}{2}(1 - M^2)$$

e si trova: $U_c = 0.75$

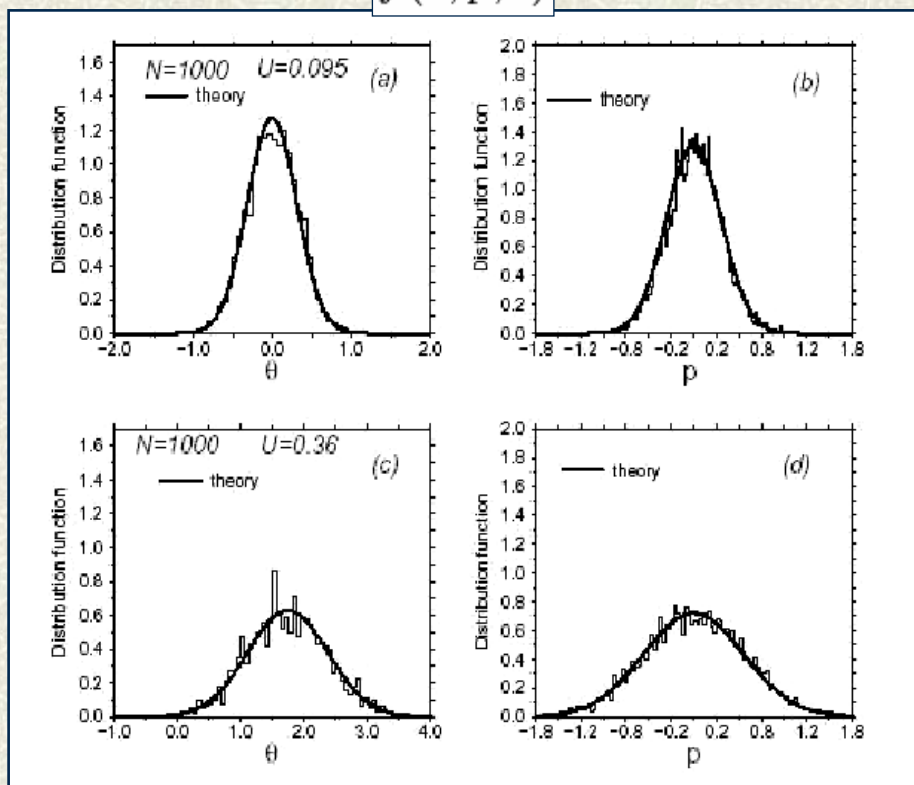


Termodinamica all'Equilibrio

Equazione di Vlasov

$$\frac{\partial f}{\partial t} + p \frac{\partial f}{\partial \theta} - \frac{\partial V}{\partial \theta} \frac{\partial f}{\partial p} = 0$$

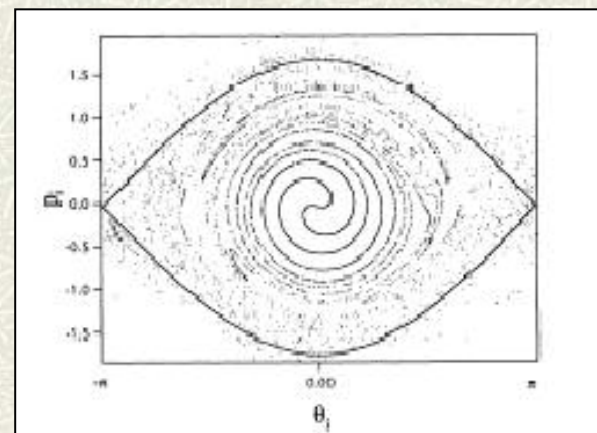
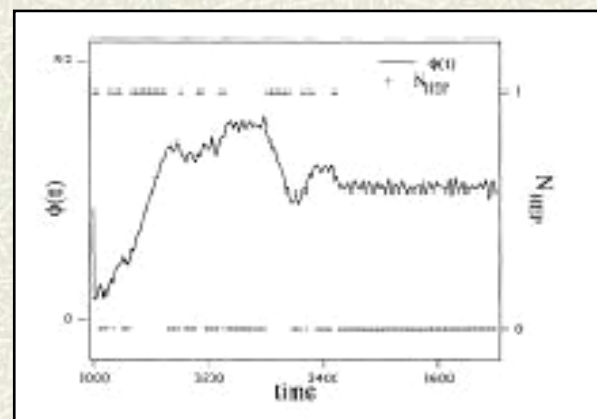
$f(\theta, p, t)$



Parametro d'ordine

$$\vec{M} = (M_x, M_y) = M e^{i\phi}$$

$$M_x = M \cos \Phi, \quad M_y = M \sin \Phi$$



Soluzione in Ensemble Microcanonico

Funzione di Partizione Microcanonica

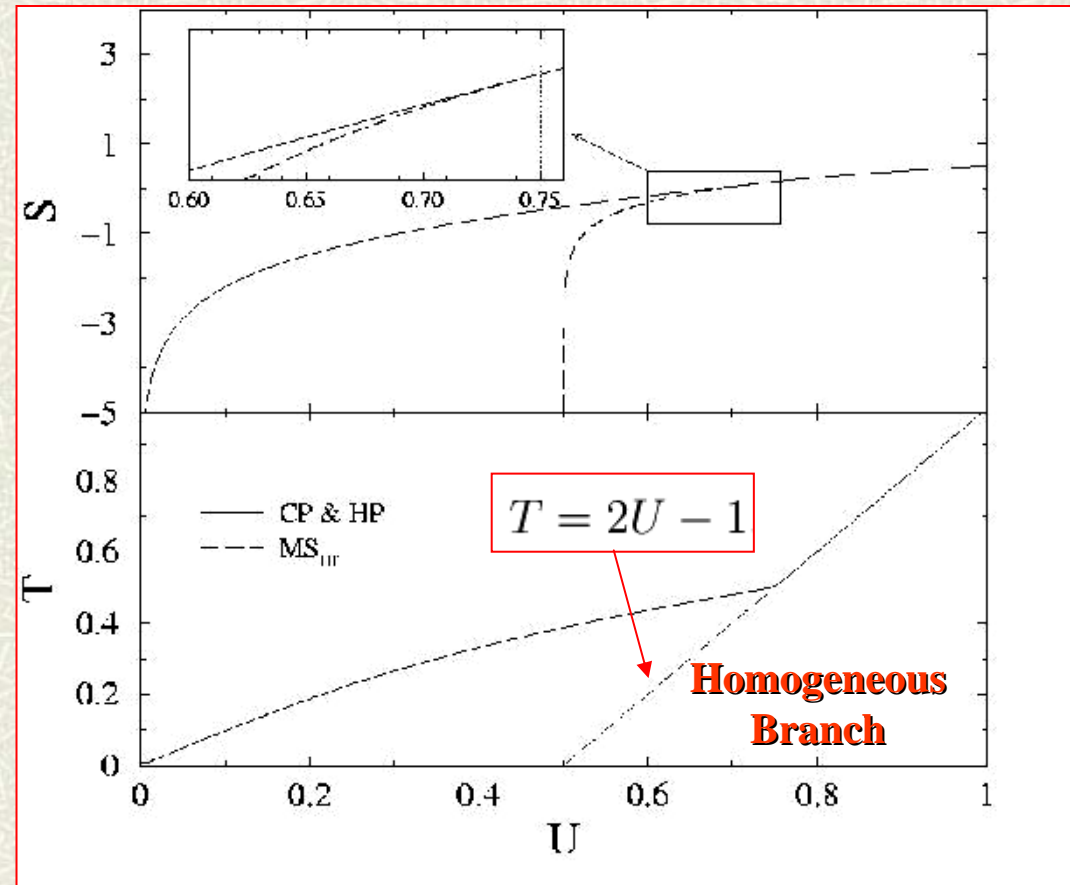
$$Z(\beta, N) = \int_0^\infty dE \omega(E, N) e^{-\beta E}$$

Densità nello Spazio delle Fasi

$$\omega(E, N) = \int d^N p_i d^N \theta_i \delta(E - H)$$

Entropia

$$S(U) = \min_{\beta > 0} \max_y \left[\beta U + \frac{1}{2} \ln\left(\frac{2\pi}{\beta}\right) - \frac{\beta}{2} + \ln(2\pi I_0(y)) - \frac{y^2}{2\beta} \right]$$



Equazioni del moto

$$\begin{cases} \frac{\partial \theta_i}{\partial t} = p_i \\ \frac{\partial p_i}{\partial t} = -M_x \sin \theta_i + M_y \cos \theta_i \end{cases} \quad \longrightarrow \quad \ddot{\theta}_i = M \sin(\Phi - \theta_i)$$

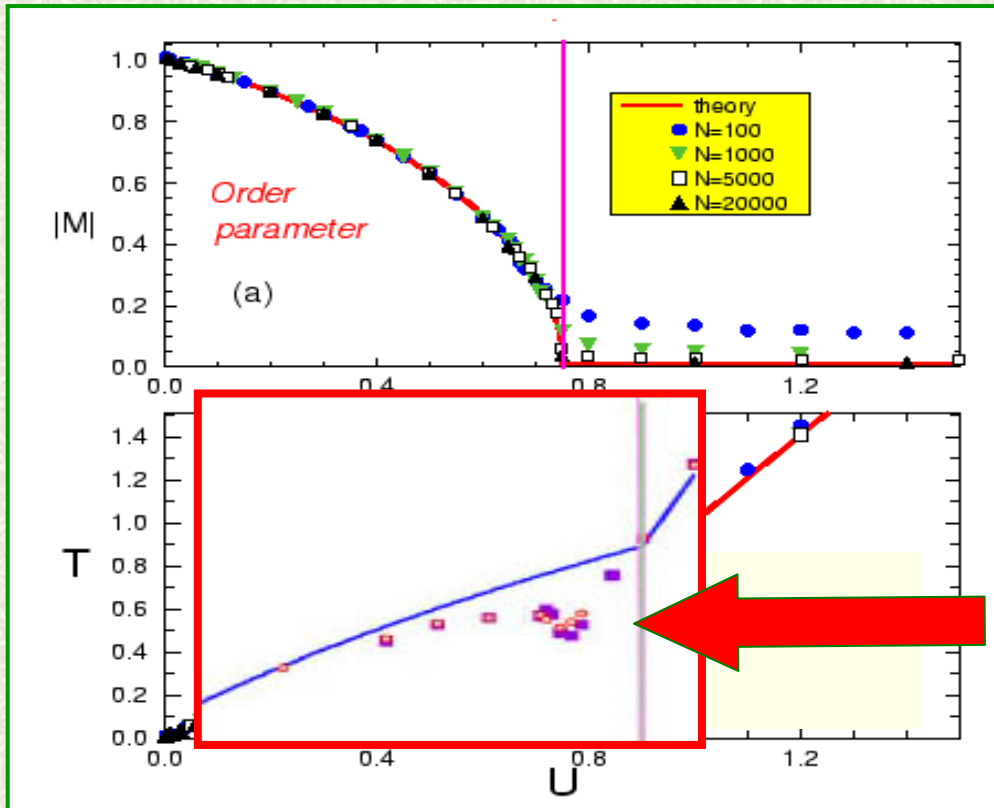
$$\vec{M} = (M_x, M_y) = M e^{i\phi}$$

Le equazioni del moto che si ricavano dall'Hamiltoniana del modello HMF possono essere integrate numericamente ad **energia costante** usando un algoritmo symplettico del 4° ordine (Yoshida, Physica A **150** (1990) 262).

Si trova così un buon accordo tra le soluzioni canoniche esatte e le simulazioni microcanoniche all'equilibrio per varie size N del sistema...

ma...

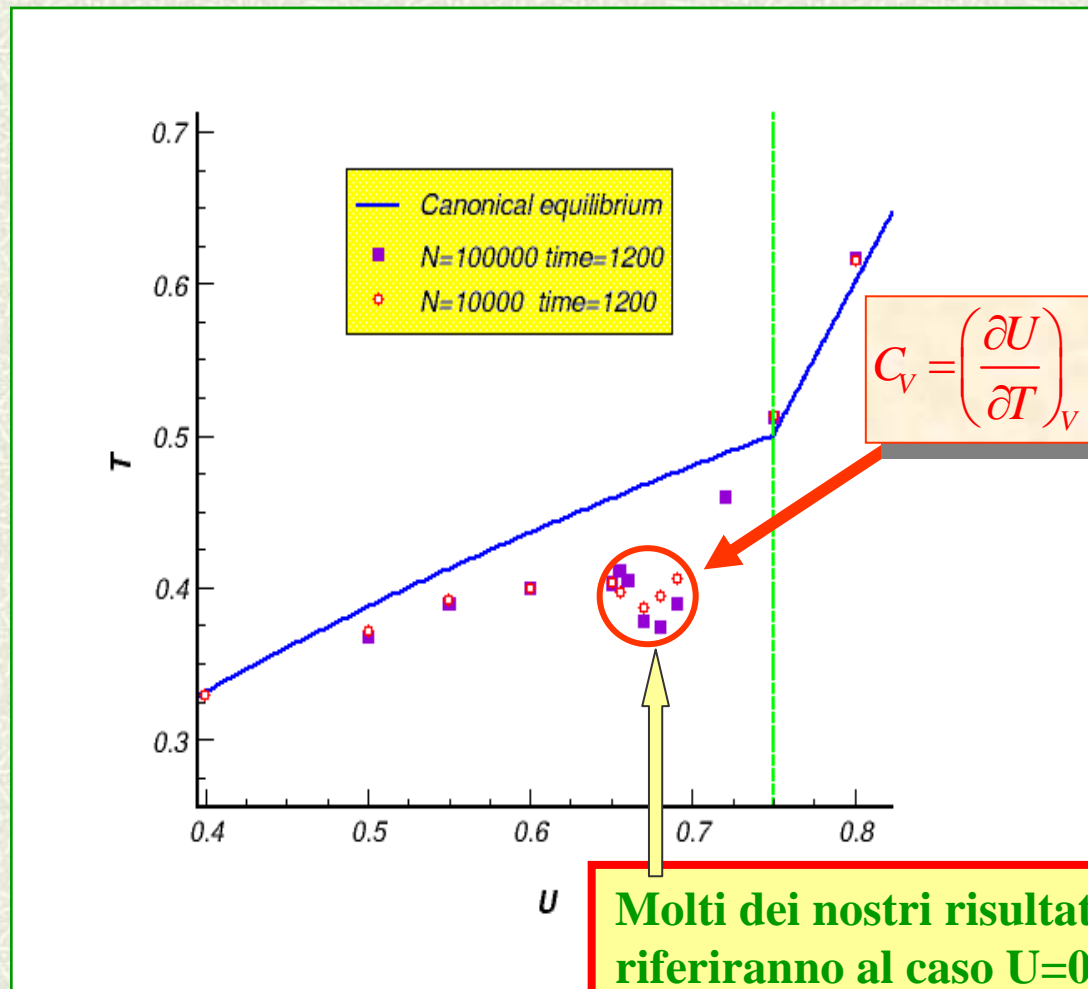
Quando il sistema viene fatto partire da **condizioni iniziali molto lontane dall'equilibrio**, si osservano molte **anomalie dinamiche**. In particolare ci concentreremo su un range di energie situate subito **sotto il punto critico** ($0.5 < U < 0.75$).



Outline del talk

- ❑ **Introduzione: Termodinamica e Dinamica del modello HMF**
- ❑ **Calore specifico negativo & Stati Quasi-Stazionari Metastabili**
- ❑ **Dinamica lenta, Diffusione anomala & PDF non gaussiana**
- ❑ **Ruolo delle condizioni iniziali sulla dinamica dei QSS**
- ❑ **Correlazioni, Frustrazione dinamica, Power Law Relaxation & Aging**
- ❑ **Links con la q-statistica generalizzata (non estensiva) di Tsallis**
- ❑ **Weak ergodicity breaking e interpretazione del QSS regime come fase Spin-Glass**
- ❑ **Stati Quasistazionari sotto il punto critico: esempi di Metastabilità in altri Sistemi Complessi.**

Calore specifico negativo



In tale regione il **calore specifico diventa negativo.**

Infatti la temperatura decresce, incrementando la densità di energia..

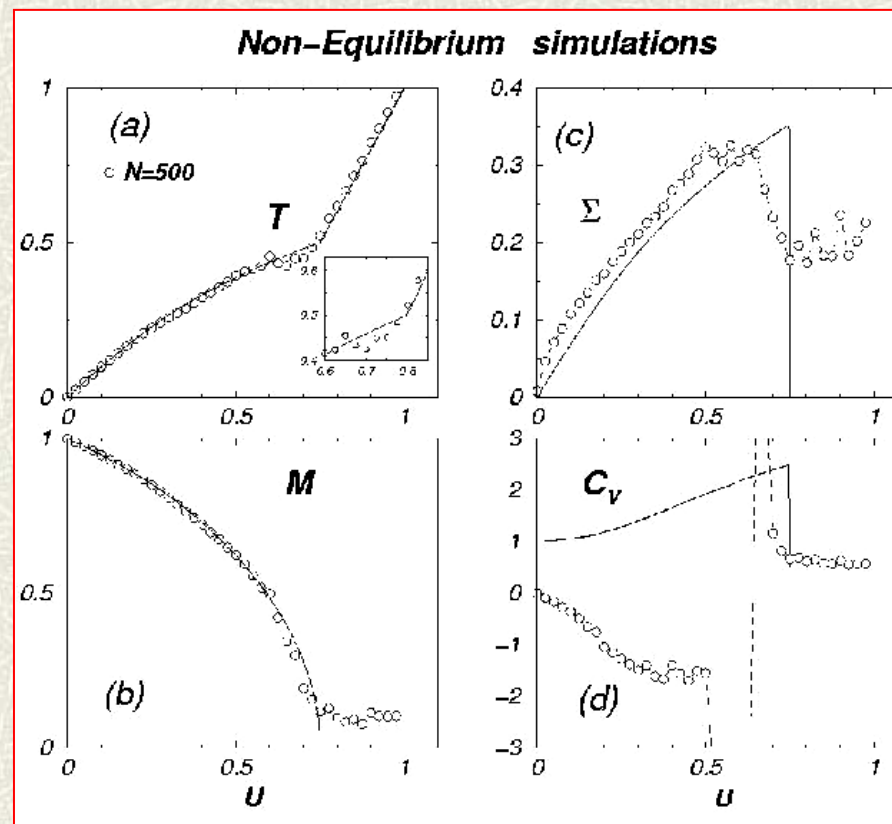
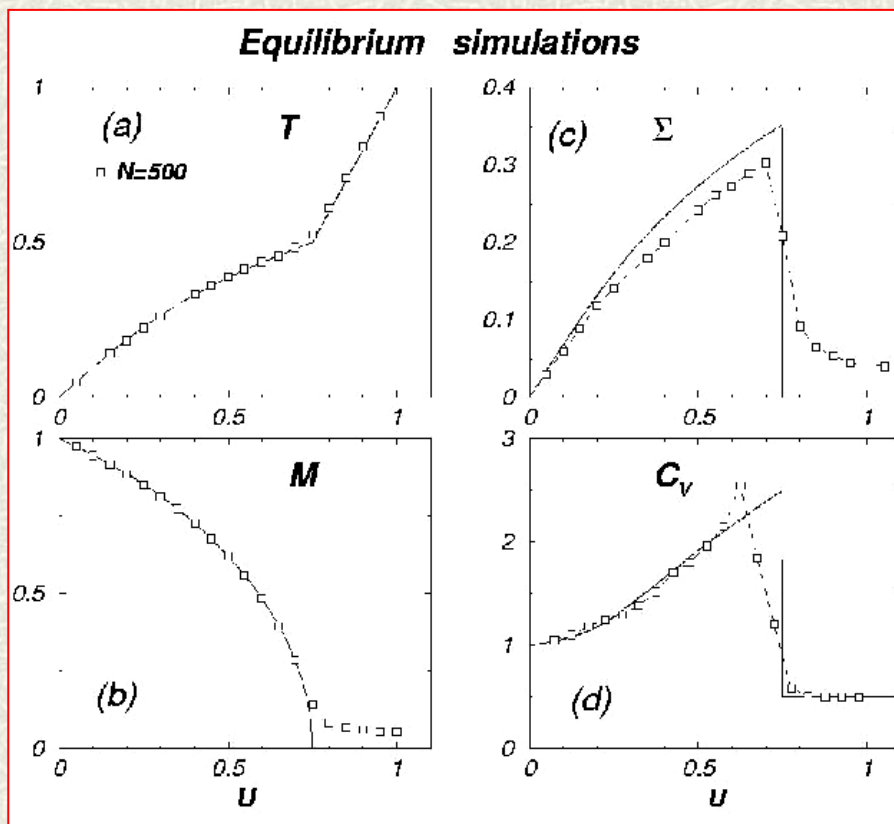
Questo fenomeno è stato osservato nelle reazioni di **multiframmentazione nucleare** e nei **clusters atomici**, ma anche in **oggetti stellari auto-gravitanti**, cioè in sistemi **non-estensivi**.

Vedi per esempio:

- Thirring, Zeit. Physik 235 (1970) 339
- Lynden-Bell, Physica A 263 (1999) 293
- D.H.E.Gross, *Microcanonical Thermodynamics: Phase transitions in Small systems*, World Scientific (2001).
- M. D'Agostino et al, Phys. Lett. B 473 (2000) 279
- Schmidt et al, Phys. Rev. Lett. 86 (2001) 1191

Molti dei nostri risultati si riferiranno al caso U=0.69

Calore specifico negativo



Calore Specifico

$$C_V = \frac{1}{2} \left[1 - 2 \left(\frac{\Sigma}{T} \right)^2 \right]^{-1}$$

Fluttuazioni di Energia Cinetica

$$\Sigma = \frac{\sigma_K}{\sqrt{N}} = \frac{\sqrt{\langle K^2 \rangle - \langle K \rangle^2}}{\sqrt{N}}$$

Stati metastabili (QSS)

Partendo da condizioni iniziali lontane dall'equilibrio, il sistema rimane intrappolato per un tempo molto lungo in **STATI QUASI-STAZIONARI (QSS) METASTABILI** dove la temperatura, definita come:

$$T = \frac{2\langle K \rangle}{N}$$

è minore di quella prevista all'equilibrio ($T_{eq}=0.476$).

Nel regime QSS la **magnetizzazione va a zero** con la size N del sistema:

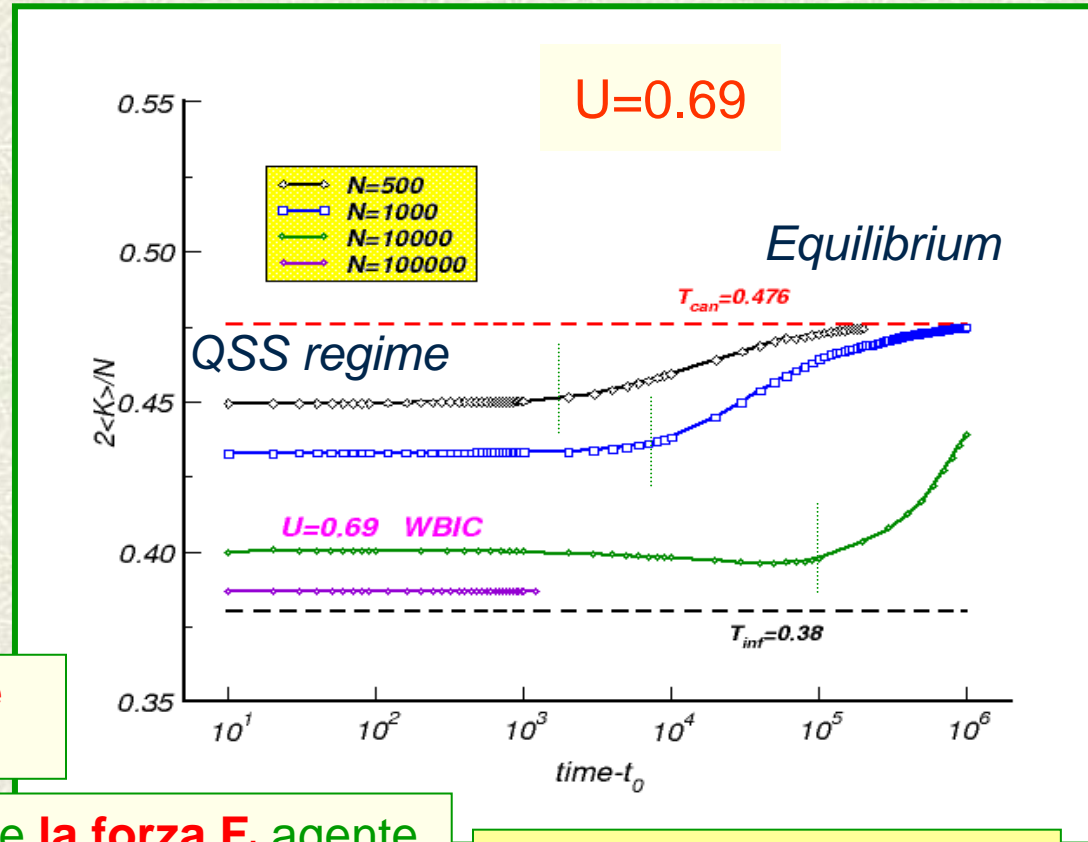
$$M_{QSS} \sim N^{-1/6}$$

e così fa anche **la forza F_i** agente Sull' i-esimo spin, essendo:

$$F_i = -M_x \sin \theta_i + M_y \cos \theta_i$$

Quindi maggiore è N, maggiore è il tempo di vita di questi stati metastabili...

Alla fine, per $N \rightarrow \infty$, la **temperatura dei QSS** tende al valore limite $T_{QSS} = 0.38$ e il sistema **non raggiunge mai il regime di equilibrio!**



Dinamica 'lenta'

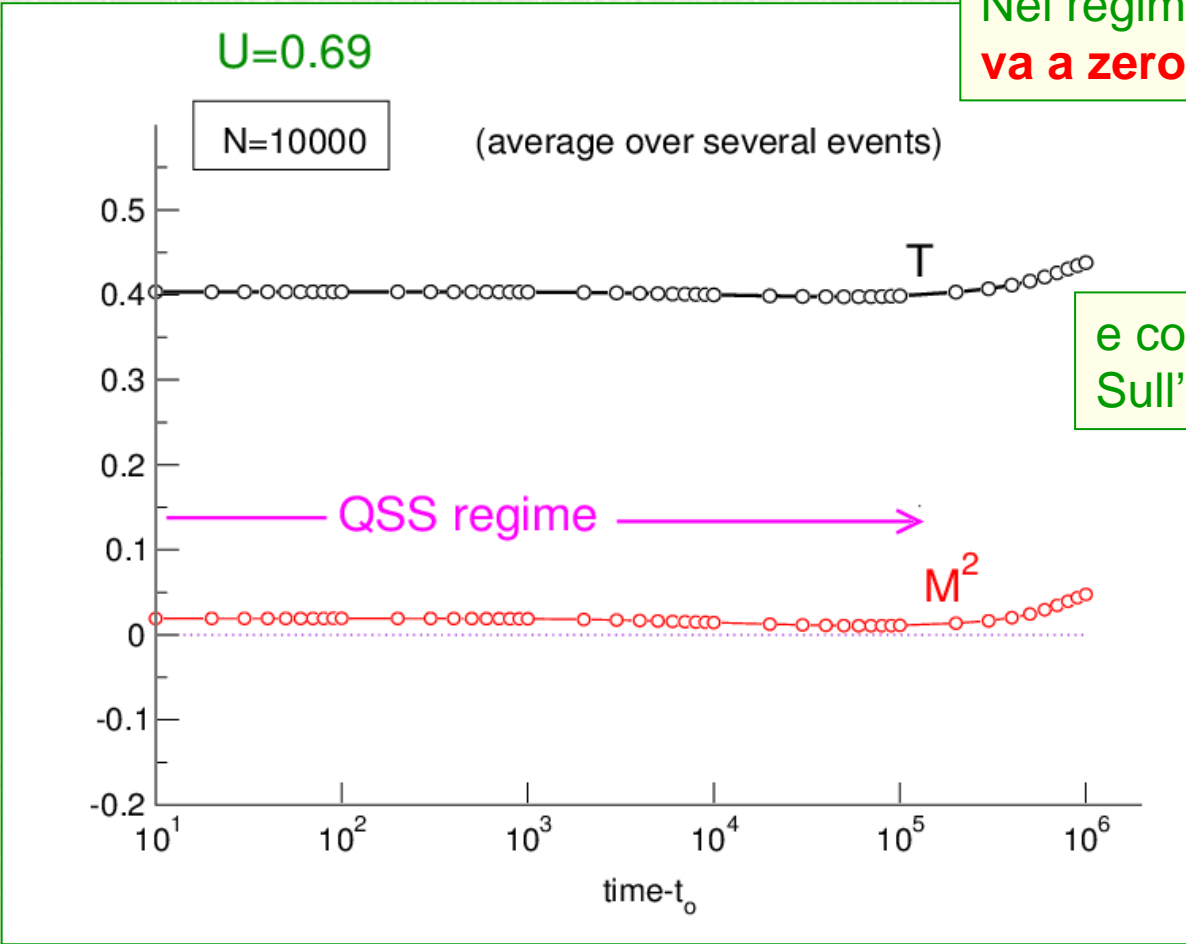
Nel regime QSS la **magnetizzazione va a zero** con la size N del sistema:

$$M_{QSS} \sim N^{-1/6}$$

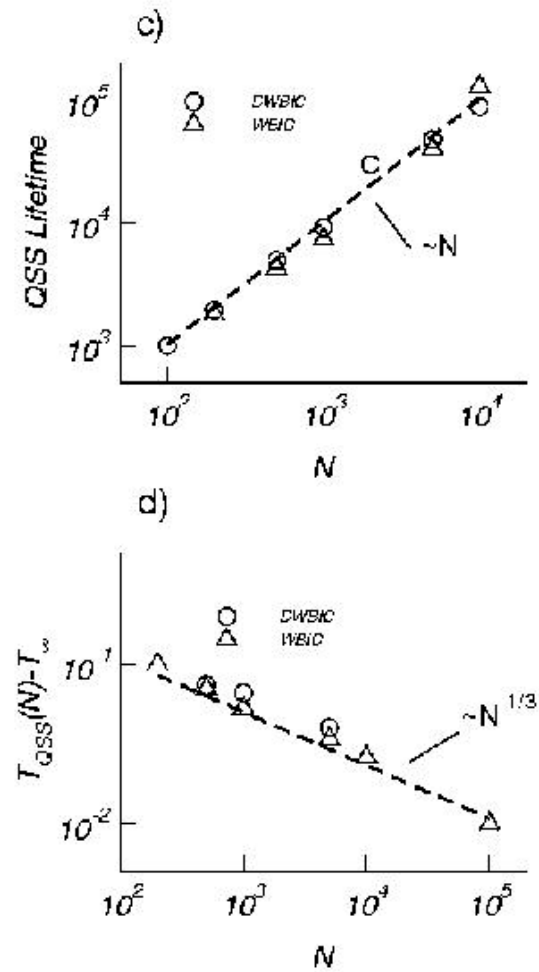
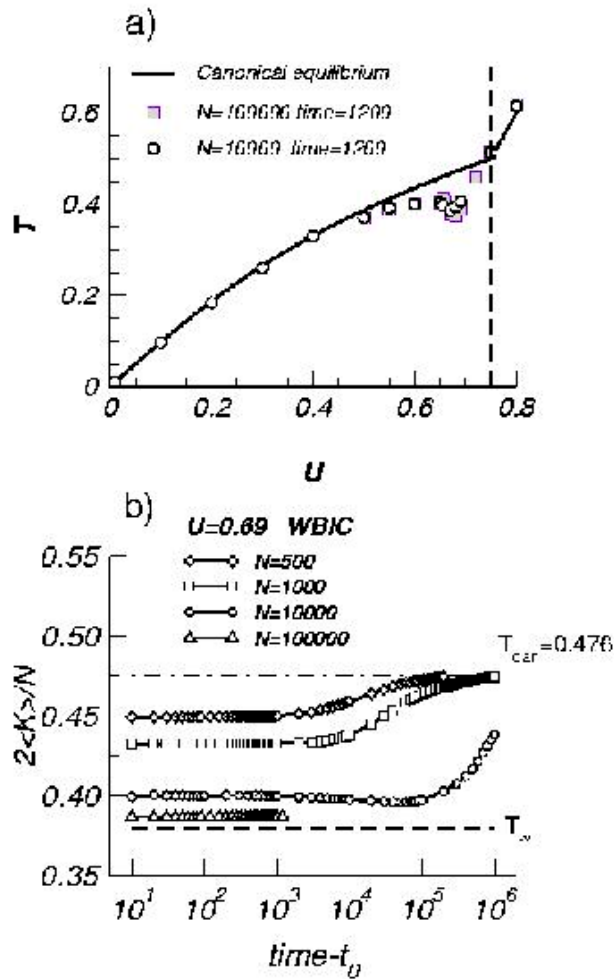
e così farà anche **la forza F_i** agente Sull' i-esimo spin, essendo:

$$F_i = -M_x \sin\theta_i + M_y \cos\theta_i$$

Perciò la **dinamica QSS diventa sempre più lenta** incrementando N.
 Per $N \rightarrow \infty$ il sistema rimane praticamente **congelato** nel regime QSS



Stati metastabili (QSS)



Ordine dei limiti

Le nostre simulazioni mostrano chiaramente che, andando verso il limite termodinamico, diventa cruciale l'ordine in cui vengono presi i due limiti per N infinito e per t infinito...

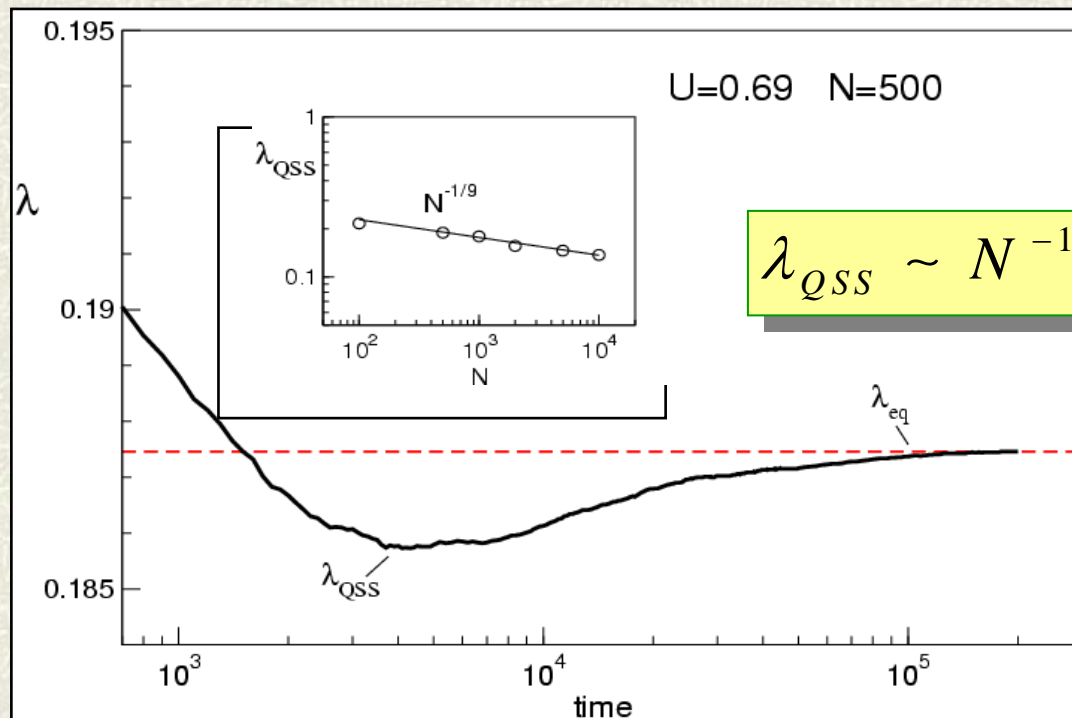
In generale, cioè, i due limiti non commutano:

$$N \rightarrow \infty \quad t \rightarrow \infty \quad \neq \quad t \rightarrow \infty \quad N \rightarrow \infty$$


Boltzmann-Gibbs
equilibrium


QSSS

L'esp. di Lyapunov va a zero

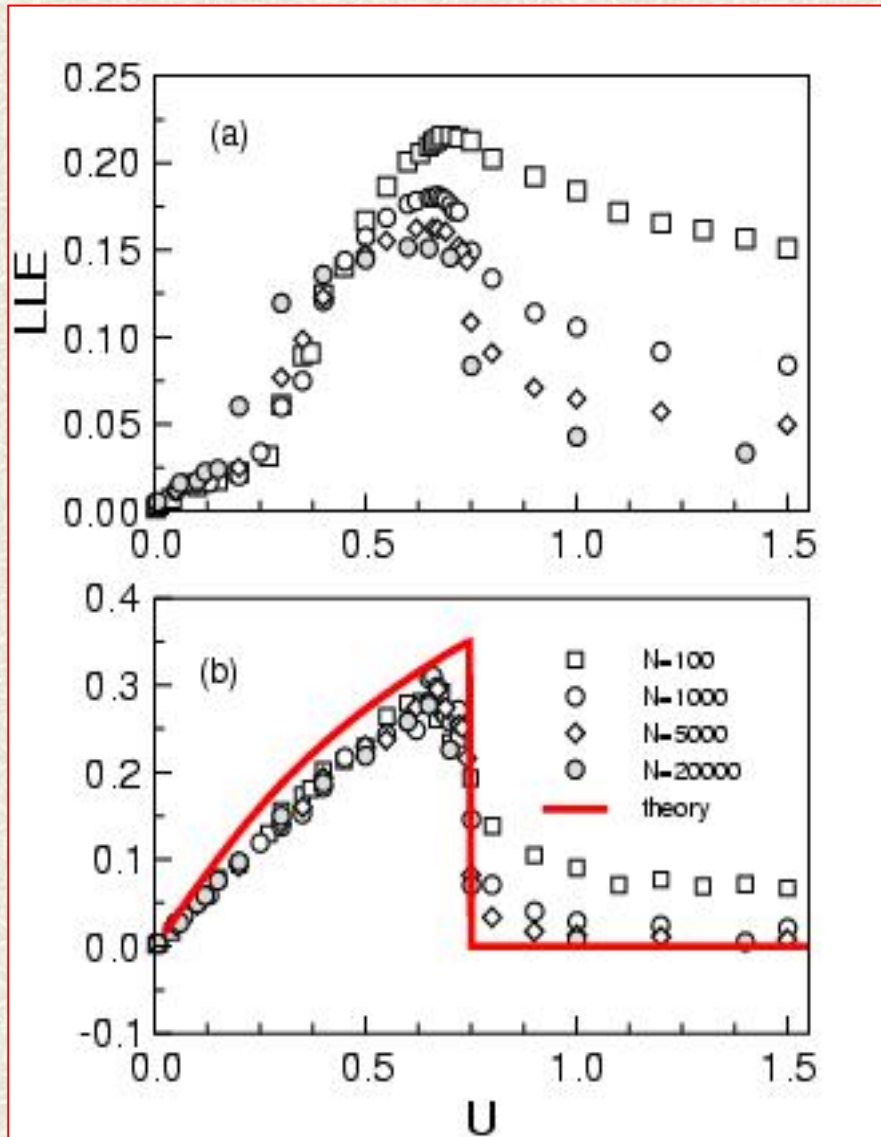


Nel regime QSS
 l' esponente
 massima di
 Lyapunov tende a
 zero quando la size
 N del sistema tende
 all'infinito, rivelando
 così una situazione
 di "weak mixing".

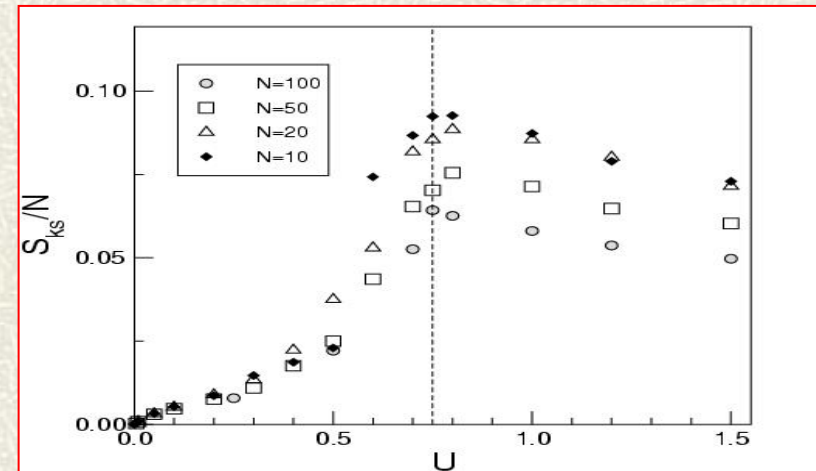
Questo scaling può essere
 ottenuto dalla relazione...

$$\lambda \propto M^{2/3} \propto (N^{-1/3})^{1/3} = N^{-1/9}$$

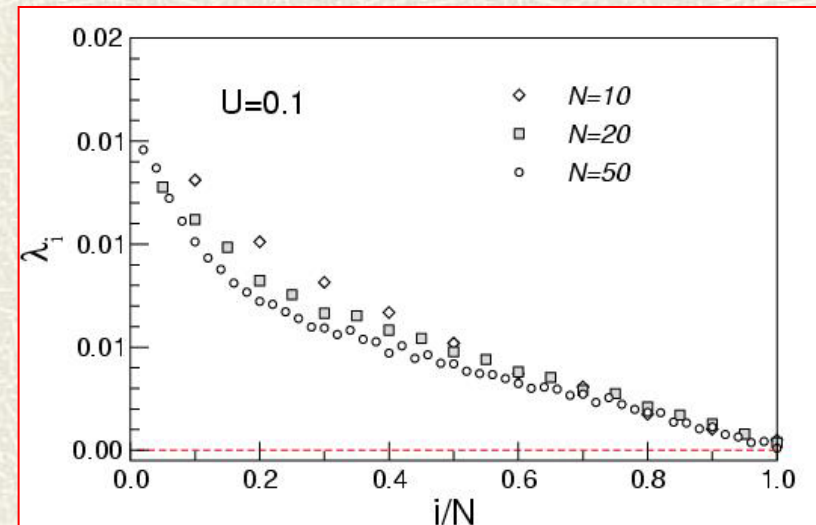
L'esp. di Lyapunov all'equilibrio



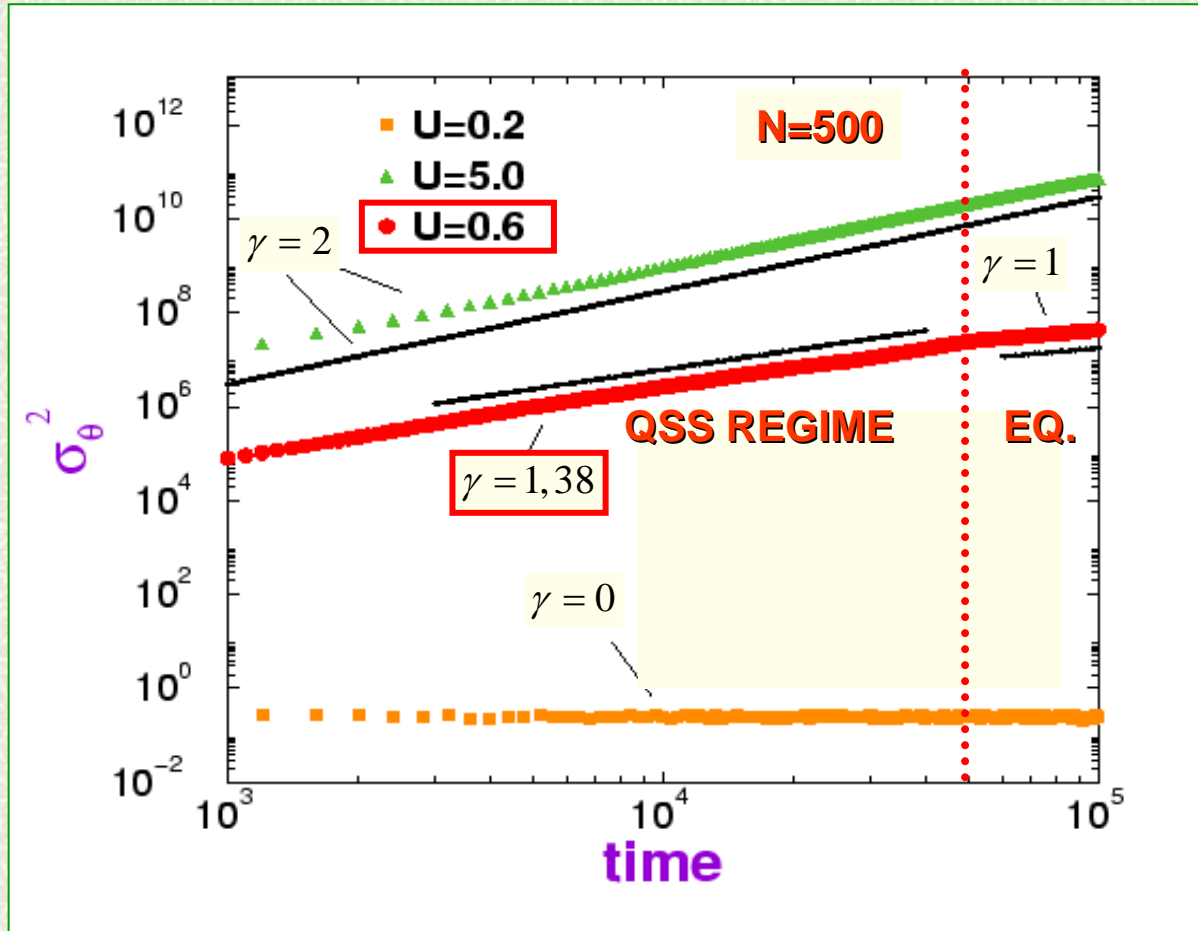
Entropia di Kolmogorov-Sinai



Spettro di Esponenti di Lyapunov pos.



Diffusione Anomala



Latora, Rapisarda and Ruffo, PRL 83 (1999) 2104

Mean Square Displacement

$$\sigma^2(t) = \frac{1}{N} \sum_{j=1}^N [\theta_j(t) - \theta_j(0)]^2 \propto t^\gamma$$

$$\gamma = 1$$

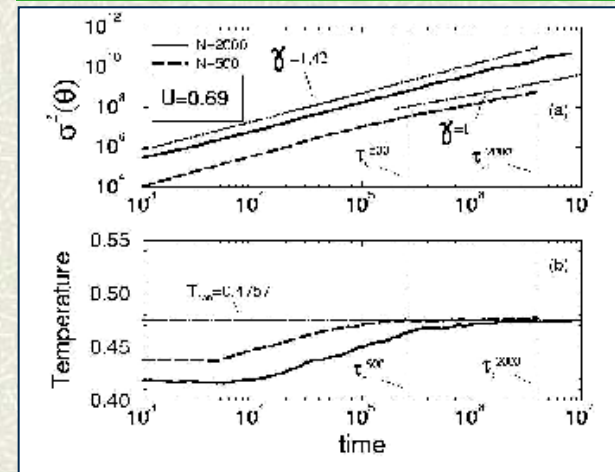
Diffusione Normale

$$\gamma \neq 1$$

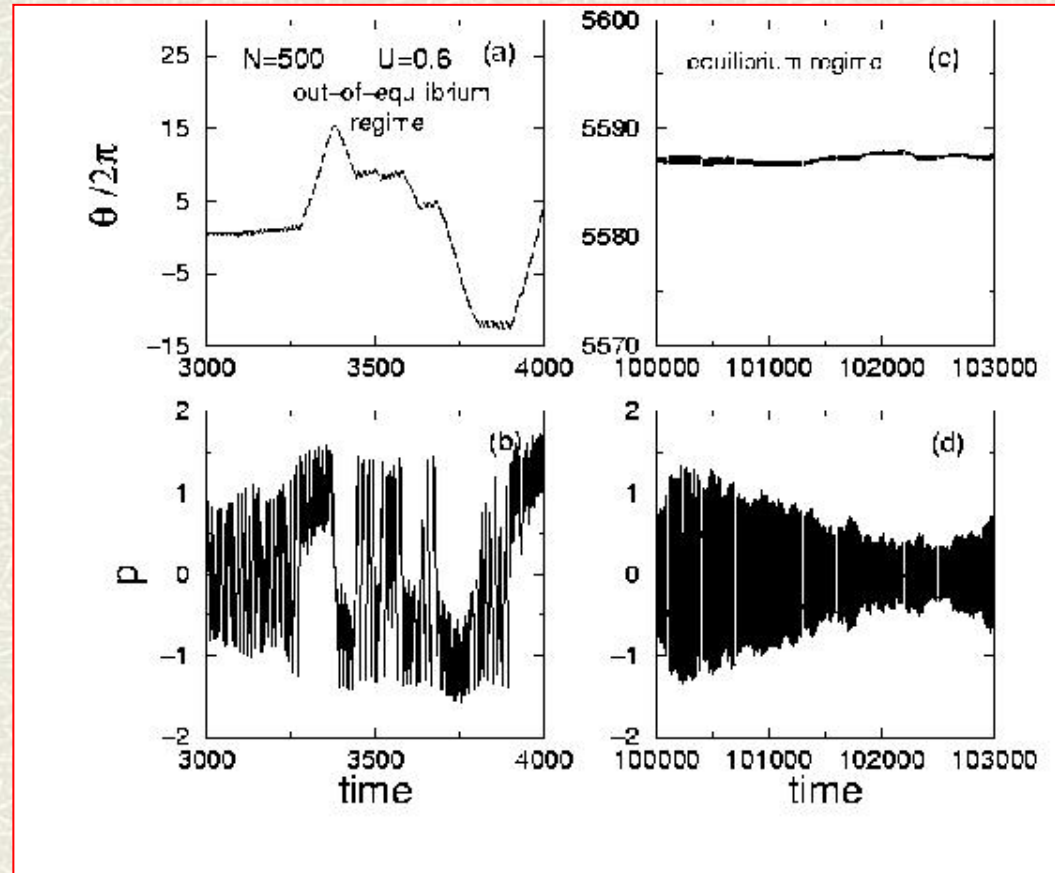
Diffusione Anomala

Regime QSS:
 superdiffusione ($\gamma=1.38$).

Equilibrio:
 diffusione normale ($\gamma=1$).

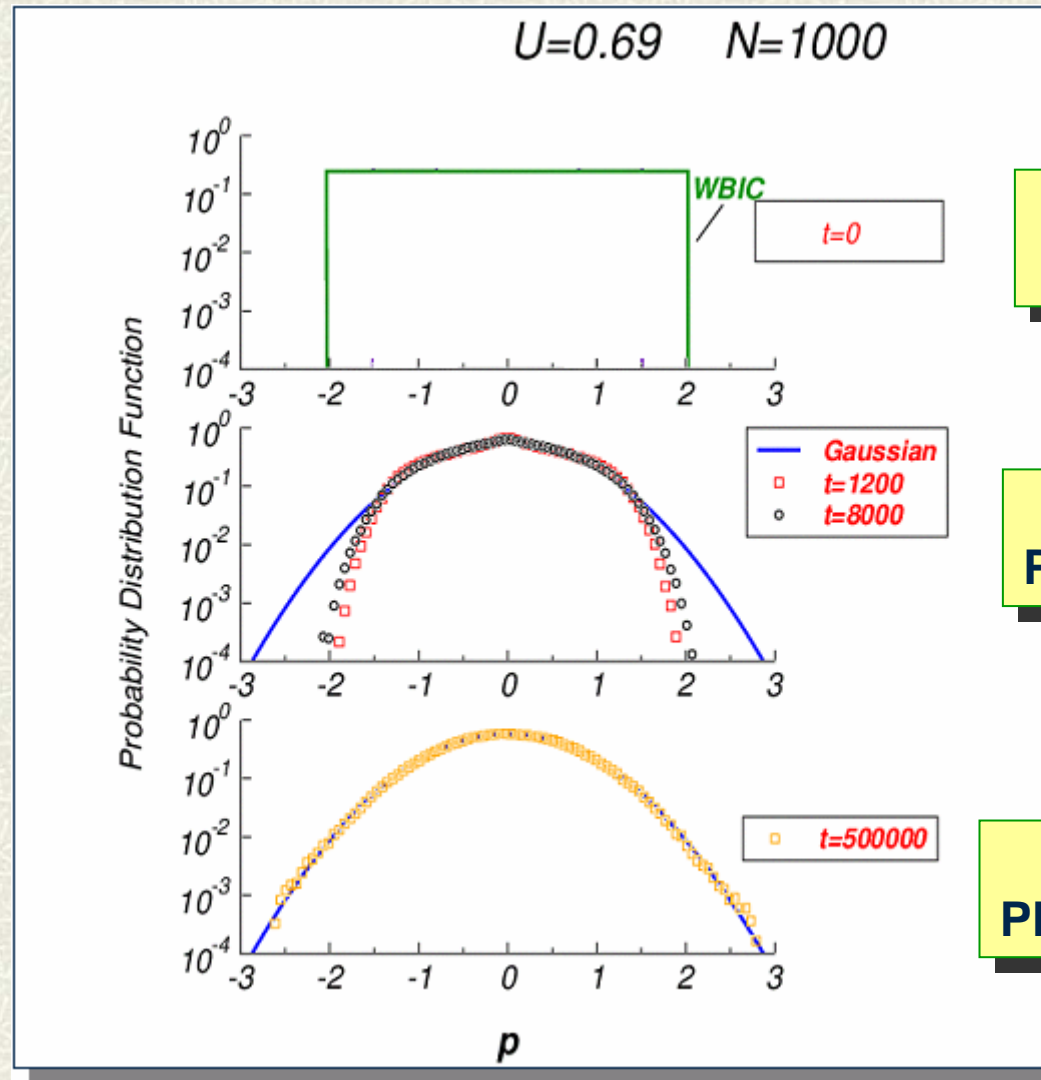


Diffusione Anomala



Latora, Rapisarda and Ruffo, PRL 83 (1999) 2104

PDF non gaussiana delle velocità



**Condizioni iniziali
Water Bag**

**Regime QSS:
PDF non gaussiana**

**Equilibrio:
PDF gaussiana (MB)**